

Metoda jednakog impulsnog odziva

Digitalna Obradba Signala

LS&S - FER

Metoda jednakog impulsnog odziva

postupak uzimanja uzoraka ili otiskivanja kontinuiranog signala možemo matematički modelirati kao pridruživanje funkciji $h_a(t)$ niza impulsa, čiji intenzitet je proporcionalan trenutnim vrijednostima kontinuiranog signala

$$h_{as}(t) = S_T\{h_a(t)\}$$

odnosno

$$h_{as}(t) = h_a(t) \sum_{n=-\infty}^{+\infty} \delta(t-nT) = \sum_{n=-\infty}^{+\infty} h_a(nT) \delta(t-nT)$$

4

Metoda jednakog impulsnog odziva

Laplaceovu transformaciju signala $h_{as}(t)$ možemo izraziti i ovako:

$$H_{as}(s) = \int_{-\infty}^{\infty} h_{as}(t) e^{-st} dt = \int_{-\infty}^{\infty} \left(\sum_{n=-\infty}^{+\infty} h_a(nT) \delta(t-nT) \right) e^{-st} dt$$

zamjenom redoslijeda sumacije i integracije dobivamo:

$$H_{as}(s) = \sum_{n=-\infty}^{\infty} h_a(nT) \int_{-\infty}^{\infty} \delta(t-nT) e^{-st} dt = \sum_{n=-\infty}^{\infty} h_a(nT) e^{-sNT}$$

7

Metoda jednakog impulsnog odziva

◆ metoda projektiranja IIR filtra transformacijom prijenosne funkcije prototipnog analognog filtra.

◆ osnovna ideja: naći IIR prijenosnu funkciju čiji je impulsni odziv jednak jednoliko otiskanom impulsnom odzivu prototipnog analognog filtra.

2

Metoda jednakog impulsnog odziva

Neka je $H_a(s)$ prijenosna funkcija kauzalnog i stabilnog analognog filtra. Njegov impulsni odziv je dan inverznom Laplace-ovom transformacijom

$$h_a(t) = \mathcal{Z}^{-1}\{H_a(s)\}$$

Impulsni odziv digitalnog filtra je jednoliko otiskana verzija impulsnog odziva analognog filtra, tj.

$$g[n] = h_a(nT)$$

3

Metoda jednakog impulsnog odziva

Laplaceova transformacija signala $h_{as}(t)$ dana je s:

$$H_{as}(s) = \int_{-\infty}^{\infty} h_{as}(t) e^{-st} dt = \int_{-\infty}^{\infty} h_a(t) \left(\frac{1}{T} \sum_{k=-\infty}^{\infty} e^{j\frac{2\pi k}{T}t} \right) e^{-st} dt =$$

zamjenom redoslijeda sumacije i integracije dobivamo:

$$H_{as}(s) = \frac{1}{T} \sum_{k=-\infty}^{\infty} \int_{-\infty}^{\infty} h_a(t) e^{-(s-j\frac{2\pi k}{T})t} dt$$

konačno

$$H_{as}(s) = \frac{1}{T} \sum_{k=-\infty}^{\infty} H_a(s - j\frac{2\pi k}{T})$$

6

Metoda jednakog impulsnog odziva

Tada vrijedi

$$G(z) = \mathcal{Z}\{g[n]\} = \mathcal{Z}\{h_a(nT)\} = \frac{1}{T} \cdot \sum_{k=-\infty}^{\infty} H_a\left(s - j\frac{2\pi k}{T}\right) \Big|_{s=\frac{1}{T}\ln z}$$

Frekvencijsku karakteristiku dobijemo uvrštavanjem $z=e^{j\omega}$:

$$G(e^{j\omega}) = \frac{1}{T} \cdot \sum_{k=-\infty}^{\infty} H_a\left(j\frac{\omega}{T} - j\frac{2\pi k}{T}\right)$$

9

Metoda jednakog impulsnog odziva

slijedi

$$H_{as}(s) = \sum_{n=-\infty}^{\infty} h_a(nT) \left(\underbrace{e^{sT}}_g \underbrace{z^{-n}}_{g[n]} \right) = \sum_{n=-\infty}^{\infty} g[n] z^{-n} = G(z) \Big|_{z=e^{sT}}$$

konačno

$$G(z) \Big|_{z=e^{sT}} = \frac{1}{T} \sum_{k=-\infty}^{\infty} H_a\left(s - j\frac{2\pi k}{T}\right)$$

8

Metoda jednakog impulsnog odziva

Pogledajmo transformaciju $z = e^{sT}$ koja preslikava s ravninu u z ravninu.

Za $s = \sigma_0 + j\Omega_0$ vrijedi $z = r \cdot e^{j\omega} = e^{\sigma_0 T} \cdot e^{j\Omega_0 T}$
odnosno $|z| = r = e^{\sigma_0 T}$

iz ovoga slijedi

imaginarna os u s ravnini ($\sigma_0=0$) \rightarrow jedinična kružnica u z ravnini ($|z|=1$)

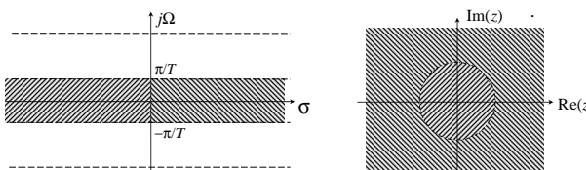
lijeva s poluravnina ($\sigma_0 < 0$) \rightarrow unutrašnjost jedinične kružnice u z ravnini ($|z|=1$)

desna s poluravnina ($\sigma_0 > 0$) \rightarrow izvan jedinične kružnice u z ravnini ($|z|=1$)

10

Metoda jednakog impulsnog odziva

dakle, horizontalni odsječak $-\pi/T \leq \Omega \leq \pi/T$ u s ravnini se preslikava u cijelu z ravninu



13

Utjecaj preslikavanja $s=(1/T)\ln z$ na frekvencijsku karakteristiku

$$G(e^{j\omega}) = \frac{1}{T} \sum_{l=-\infty}^{\infty} H_a\left(j\frac{\omega}{T} + j\frac{2\pi l}{T}\right)$$

Frekvencijska karakteristika digitalnog filtra je suma posmknutih kopija frekvencijske karakteristike analognog filtra.

Ako je frekvencijska karakteristika analognog filtra frekvencijski ograničena, tj. ako je

$$H_a(j\Omega) = 0 \quad \text{za } |\Omega| \geq \frac{\pi}{T}$$

tada vrijedi

$$G(e^{j\omega}) = \frac{1}{T} \cdot H_a\left(j\frac{\omega}{T}\right) \quad \text{za } |\omega| \leq \pi$$

i nema aliasinga.

Ako gornji uvjet nije ispunjen, doći će do preklapanja spektara, odnosno aliasinga.

16

Metoda jednakog impulsnog odziva

zaključak: transformacijom

$$z = e^{sT}$$

polovi stabilnog analognog filtra se preslikavaju u unutrašnjost jedinične kružnice u z ravnini

11

Metoda jednakog impulsnog odziva

transformacija $z = e^{sT}$ preslikava sve točke u s ravnini dane s

$$s = \sigma_0 + j\Omega_0 + j\frac{2\pi k}{T}$$

u jednu točku u z ravnini

$$z = e^{\sigma_0 T} \cdot e^{j\Omega_0 T}$$

12

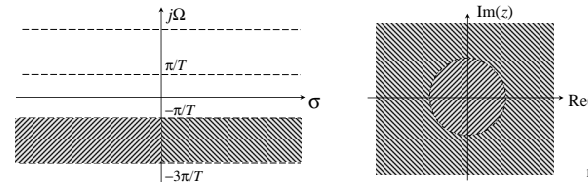
Metoda jednakog impulsnog odziva

dakle, transformacija

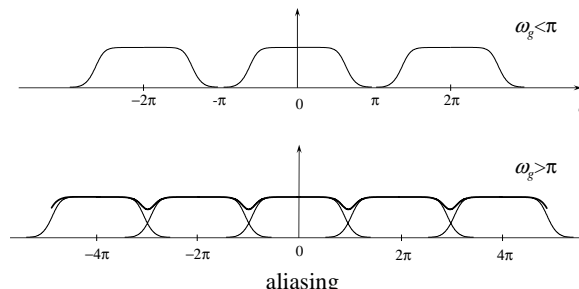
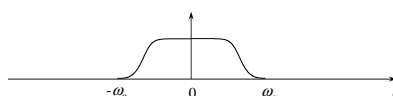
$$z = e^{sT}$$

je višestruko preslikavanje iz s ravnine u cijelu z ravninu

15



14



17

Metoda jednakog impulsnog odziva

◆ Ne postoji analogni filter čija je prijenosna karakteristika frekvencijski ograničena.

◆ U praksi, ako je $|H_a(j\Omega)| \leq 0,01 H_{\max}$ za $\Omega \geq \pi/T$, gdje je $H_{\max} = \max(|H_a(j\Omega)|)$ u intervalu $0 \leq \Omega \leq \pi/T$, može se smatrati da je prijenosna karakteristika "dovoljno" ograničena.

18

Metoda jednakog impulsnog odziva

- Metoda jednakog impulsnog odziva nije pogodna za projektiranje filtra ako prototipni analogni filter nema frekvencijski ograničenu prijenosnu karakteristiku, kao što je npr. slučaj s visokopropusnim analognim filtrom.
 - ◆ Ako želimo projektirati digitalni filter čija frekvencijska karakteristika odgovara frekvencijskoj karakteristici analognog filtra do frekvencije $\Omega = \pi/T$, potrebno je odabrati tzv. "guard filter" $H_g(s)$ takav da je produkt $H_a(s)H_g(s)$ frekvencijski ograničen i da vrijedi
- $$|H_a(j\Omega) \cdot H_g(j\Omega)| \approx |H_a(j\Omega)| \quad \text{za } \Omega < \pi/T$$
- $$|H_a(j\Omega) \cdot H_g(j\Omega)| \approx 0 \quad \text{za } \Omega \geq \pi/T$$

19

Projektiranje digitalnog filtra metodom jednakog impulsnog odziva

Ako je prijenosna funkcija prototipnog analognog filtra racionalna funkcija

$$H_a(s) = \frac{B(s)}{A(s)}$$

$H_a(s)$ se može napisati u obliku sume parcijalnih razlomaka

$$H_a(s) = \sum_{i=1}^N \frac{K_i}{s + s_i}$$

Impulsni odziv filtra se dobije inverznom Laplace-ovom transformacijom

$$h_a(t) = \sum_{i=1}^N K_i e^{-s_i t}$$

20

Projektiranje ...

Impulsni odziv digitalnog filtra dobijemo otiskavanjem impulsnog odziva analognog filtra svakih T :

$$g(n) = \sum_{i=1}^N K_i e^{-s_i n T} = \sum_{i=1}^N K_i (e^{-s_i T})^n$$

z transformacija impulsnog odziva je

$$G(z) = Z(g(n)) = \sum_{n=0}^{\infty} \left[\sum_{i=1}^N K_i (e^{-s_i T})^n \right] \cdot z^{-n} = \sum_{i=1}^N \frac{K_i z}{z - e^{-s_i T}}$$

Dobili smo racionalnu funkciju po z , i to je prijenosna funkcija digitalnog filtra.

21

Projektiranje ...

Gornje jednadžbe vrijede ako prijenosna funkcija analognog filtra ima jednostrukе polove. U slučaju dvostrukih polova, tj. ako se pri rastavu prijenosne funkcije analognog filtra na parcijalne razlomke pojavi član oblika

$$\frac{K_i}{(s + s_i)^2}$$

odgovarajući član u prijenosnoj funkciji digitalnog filtra ima oblik

$$\frac{K_i \cdot T \cdot e^{-s_i T} \cdot z}{(z - e^{-s_i T})^2}$$

22

Projektiranje ...

U slučaju pola $(n+1)$ -og reda, tj. parcijalnog razlomka oblika

$$\frac{K_i}{(s + s_i)^{n+1}}$$

odgovarajući član prijenosne funkcije digitalnog filtra je

$$K_i \cdot \frac{T^n \cdot (-z)^n}{n!} \cdot \frac{d^n}{dz^n} \left(\frac{z}{z - e^{-s_i T}} \right)$$

23

Primjer - projektiranje ...

Projektiranje ...

- ako je analogna prijenosna funkcija

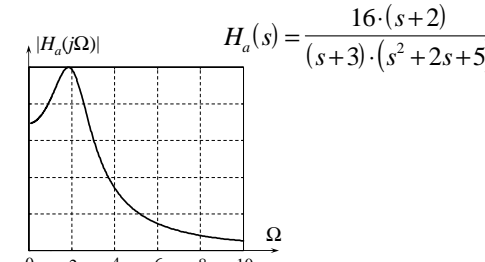
$$H_a(s) = \frac{s + \beta}{(s + \beta)^2 + \lambda^2}$$

odgovarajuća digitalna prijenosna funkcija je

$$G(z) = \frac{z^2 - z \cdot e^{-\beta T} \cdot \cos \lambda T}{z^2 - 2 \cdot z \cdot e^{-\beta T} \cdot \cos \lambda T + e^{-2\beta T}}$$

25

Neka je prijenosna funkcija analognog filtra dana s



Amplitudno-frekvencijska karakteristika analognog filtra $|H_a(j\Omega)|$

Rastavom na parcijalne razlomke dobijemo

$$H_a(s) = -\frac{2}{s+3} + \frac{2s+14}{s^2+2s+5} = -\frac{2}{s+3} + \frac{2s+14}{(s+1)^2+2^2}$$

$$H_a(s) = -\frac{2}{s+3} + 2 \cdot \frac{s+1}{(s+1)^2+2^2} + 6 \cdot \frac{2}{(s+1)^2+2^2}$$

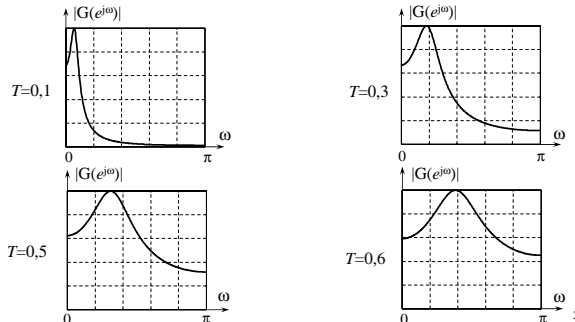
Koristeći dane formule dobijemo prijenosnu funkciju digitalnog filtra

$$G(z) = \frac{-2z}{z - e^{-3T}} + \frac{2z^2 + z \cdot e^{-T} \cdot (6 \cdot \sin 2T - 2 \cdot \cos 2T)}{z^2 - 2 \cdot z \cdot e^{-T} \cdot \cos 2T + e^{-2T}}$$

27

Primjer - projektiranje ...

Amplitudno-frekvencijske karakteristike digitalnog filtra $|G(e^{j\omega})|$ za različite frekvencije otiskavanja, odnosno različite T :



Projektiranje - sažetak

- Ako je specifikacija filtra dana u digitalnoj domeni, specifikacija prototipnog analognog filtra se dobije frekvencijskom transformacijom $\Omega = \omega/T$.
- Projektirati prototipni analogni filter $H_a(s)$.
- Rastaviti prijenosnu funkciju analognog filtra na parcijalne razlomke. Tako dobivamo koeficijente K_i i s_i .
- Izračunati prijenosnu funkciju digitalnog filtra $G(z)$.

28

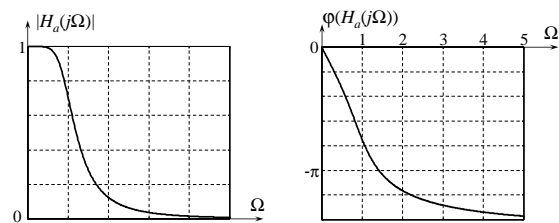
Svojstva filtra projektiranog metodom jednakog impulsnog odziva

- Broj polova digitalnog filtra jednak je broju polova analognog filtra.
- Digitalni filter je stabilan ako je prototipni analogni filter bio stabilan.
- Frekvencijska karakteristika digitalnog filtra je periodizirana frekvencijska karakteristika analognog filtra.
- Kaskada dva digitalna filtra projektirana metodom jednakog impulsnog odziva nema impulsni odziv jednak impulsnom odzivu kaskade dva analogna prototipa. Drugim riječima, filter mora biti projektiran u jednom koraku.

30

Primjer 1

Butterworth, niski propust, 3. red $H_a(s) = \frac{1}{(s+1) \cdot (s^2 + s + 1)}$



31

Primjer 1 - nastavak

Prijenosna funkcija digitalnog filtra projektiranog metodom jednakog impulsnog odziva je

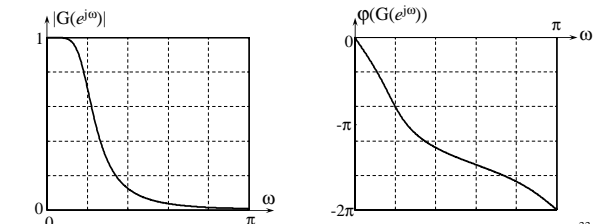
$$G(z) = \frac{z^{-1} \left[e^{-T} + e^{-T/2} \left(-\cos\left(\frac{\sqrt{3}}{2}T\right) + \frac{1}{\sqrt{3}} \sin\left(\frac{\sqrt{3}}{2}T\right) \right) \right] + z^{-2} \cdot e^{-T} \left[1 - \cos\left(\frac{\sqrt{3}}{2}T\right) + \frac{1}{\sqrt{3}} \sin\left(\frac{\sqrt{3}}{2}T\right) \right]}{1 - z^{-1} \left[2e^{-T/2} \cdot \cos\left(\frac{\sqrt{3}}{2}T\right) + e^{-T} \right] + z^{-2} \left[e^{-T} + 2 \cdot e^{-3T/2} \cdot \cos\left(\frac{\sqrt{3}}{2}T\right) \right] - z^{-3} \cdot e^{-2T}}$$

32

Primjer 1 - nastavak

Za $T=\pi/5=0,628$ prijenosna funkcija digitalnog filtra je

$$G(z) = \frac{0,1271 \cdot z^{-1} + 0,2367 \cdot z^{-2}}{1 - 1,7833 \cdot z^{-1} + 1,2003 \cdot z^{-2} - 0,2846 \cdot z^{-3}}$$



33

Primjer 2

Što bi se dogodilo da smo u prethodnom primjeru filter projektirali kao kaskadu dva digitalna filtra projektirana metodom jednakog impulsnog odziva

uz prototipne analogne filtre $H_{a1}(s) = \frac{1}{s+1}$ i $H_{a2}(s) = \frac{1}{s^2+s+1}$?

$$G_1(z) = \frac{1}{1 - z^{-1} \cdot e^{-T}}$$

$$G_2(z) = \frac{2}{\sqrt{3}} \cdot \frac{z^{-1} \cdot e^{-T/2} \cdot \sin\left(\frac{\sqrt{3}}{2}T\right)}{1 - z^{-1} \cdot 2 \cdot e^{-T/2} \cos\left(\frac{\sqrt{3}}{2}T\right) + e^{-T}}$$

34

Primjer 2 - nastavak

Kaskada ova dva digitalna filtra ima prijenosnu funkciju

$$G_k(z) = G_1(z) \cdot G_2(z) = \frac{\left(z^{-1} \cdot \frac{2}{\sqrt{3}} \cdot e^{-T/2} \cdot \sin\left(\frac{\sqrt{3}}{2}T\right) \right)}{1 - z^{-1} \left[2e^{-T/2} \cdot \cos\left(\frac{\sqrt{3}}{2}T\right) + e^{-T} \right] + z^{-2} \left[e^{-T} + 2 \cdot e^{-3T/2} \cdot \cos\left(\frac{\sqrt{3}}{2}T\right) \right] - z^{-3} \cdot e^{-2T}}$$

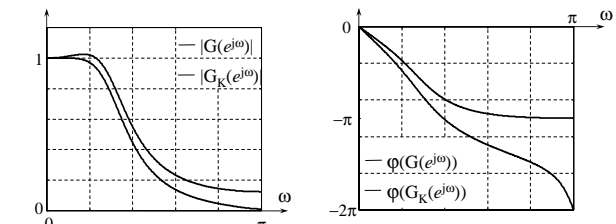
\neq

Prijenosna funkcija filtra u prethodnom primjeru bila je

$$G(z) = \frac{z^{-1} \left[e^{-T} + e^{-T/2} \left(-\cos\left(\frac{\sqrt{3}}{2}T\right) + \frac{1}{\sqrt{3}} \sin\left(\frac{\sqrt{3}}{2}T\right) \right) \right] + z^{-2} \cdot e^{-T} \left[1 - \cos\left(\frac{\sqrt{3}}{2}T\right) + \frac{1}{\sqrt{3}} \sin\left(\frac{\sqrt{3}}{2}T\right) \right]}{1 - z^{-1} \left[2e^{-T/2} \cdot \cos\left(\frac{\sqrt{3}}{2}T\right) + e^{-T} \right] + z^{-2} \left[e^{-T} + 2 \cdot e^{-3T/2} \cdot \cos\left(\frac{\sqrt{3}}{2}T\right) \right] - z^{-3} \cdot e^{-2T}}$$

35

Primjer 2 - nastavak



36

Amplitudna i fazna karakteristika filtera $G_k(z)$ i $G(z)$ uz $T=1$

Projektiranje rekurzivnog digitalnog filtra bilinearom transformacijom

Digitalna obradba signala

37

Bilinearna transformacija

- ... definirana algebarskom trasformacijom između varijabli s i z

$$s = \frac{2}{T} \left(\frac{1 - z^{-1}}{1 + z^{-1}} \right)$$

- Ako je vremenski kontinuiran sustav zadan prijenosnom funkcijom $H_c(s)$, tada se supstitucijom varijable s sa gore navedenim izrazom dobiva $H(z)$ vremenski diskretnog sustava :

$$H(z) = H_c \left[\frac{2}{T} \left(\frac{1 - z^{-1}}{1 + z^{-1}} \right) \right]$$

40

Sadržaj

- Bilinearna transformacija
- Svojstva bilinearne transformacije
- Primjer projektiranja digitalnog IIR filtra

38

Bilinearna transformacija

- Transformira vremenski kontinuirani sustav zadan prijenosnom funkcijom $H_c(s)$ u vremenski diskretni sustav, $H(z)$
- Kako riješiti problem aliasinga koji postoji kod transformacije jednakih impulsnih odziva ?
 $\Rightarrow \dots$ transformacija mora preslikati svaku točku iz s-ravnine u jedinstvenu točku u z-ravnini i obratno
- Bilinearnom transformacijom se cijela $j\Omega$ os u s-ravnini ($-\infty < \Omega < +\infty$) prevodi u jedan obilazak jedinične kružnice u z-ravnini ($-\pi < \omega < \pi$)

39

Bilinearna transformacija

- ... definirana algebarskom trasformacijom između varijabli s i z

$$s = \frac{2}{T} \left(\frac{1 - z^{-1}}{1 + z^{-1}} \right)$$

- Ako je vremenski kontinuiran sustav zadan prijenosnom funkcijom $H_c(s)$, tada se supstitucijom varijable s sa gore navedenim izrazom dobiva $H(z)$ vremenski diskretnog sustava :

$$H(z) = H_c \left[\frac{2}{T} \left(\frac{1 - z^{-1}}{1 + z^{-1}} \right) \right]$$

40

Bilinearna transformacija

- Izraz za bilinearnu transformaciju dobiven je iz trapezne formule za numeričku integraciju.

- ... prepostavimo vrem. kont. sustav prvog reda

$$H_c(s) = \frac{b}{s+a}, \text{ odnosno } y'(t) + ay(t) = bu(t)$$

- korištenjem trapezne formule integral y(t)

$$y(t) = \int_{t_0}^t y'(\tau) d\tau + y(t_0)$$

se može u točkama $t=nT$ i $t_0=(n-1)T$ aproksimirati sa:

$$y(nT) = \frac{T}{2} [y'(nT) + y'((n-1)T)] + y((n-1)T)$$

41

- evaluacijom diferencijalne jednadžbe za $t=nT$ slijedi:

$$y'(nT) = -ay(nT) + bu(nT)$$

- što uvrštenjem u izraz za trapeznu aproksimaciju integrala daje jednadžbu diferencija:

$$\left(1 + \frac{aT}{2}\right)y[n] - \left(1 - \frac{aT}{2}\right)y[n-1] = \frac{bT}{2}(u[n] + u[n-1])$$

- z transformacijom gornje jednadžbe dobiva se:

$$\left(1 + \frac{aT}{2}\right)Y(z) - \left(1 - \frac{aT}{2}\right)z^{-1}Y(z) = \frac{bT}{2}(1 + z^{-1})U(z)$$

42

Bilinearna transformacija

- slijedi prijenosna funkcija vrem. diskr. sustava $H(z)$:

$$H(z) = \frac{Y(z)}{U(z)} = \frac{(bT/2)(1+z^{-1})}{1 + aT/2 - (1-aT/2)z^{-1}}$$

- ... odnosno

$$H(z) = \frac{b}{\frac{2}{T} \left(\frac{1 - z^{-1}}{1 + z^{-1}} \right) + a}$$

- Usporedbom s početnom

$$H_c(s) = \frac{b}{\frac{2}{T} \left(\frac{1 - z^{-1}}{1 + z^{-1}} \right) + a}$$

\Rightarrow slijedi :

$$s = \frac{2}{T} \left(\frac{1 - z^{-1}}{1 + z^{-1}} \right)$$

43

Bilinearna transformacija

- Postupak projektiranja digitalnog filtra $H(z)$:

- Definiranje zahtjeva na digitalni filter (specifikacija)

- Inverznom bilinearnom transformacijom dobivaju se zahtjevi na pripadni analogni filter

- Projektiranje analognog filtra $H_c(s)$ koji zadovoljava tražene specifikacije

- Bilinearnom transformacijom od $H_c(s)$ dobiva se traženi $H(z)$

44

Projektiranje rekurzivnog digitalnog filtra bilinearnom transformacijom

Svojstva bilinearne transformacije

45

Svojstva bilinearne transformacije

- neka su kompleksne varijable s i zadane kao:

$$z = re^{j\omega}, \quad s = \sigma + j\Omega$$

- ... transformacijom

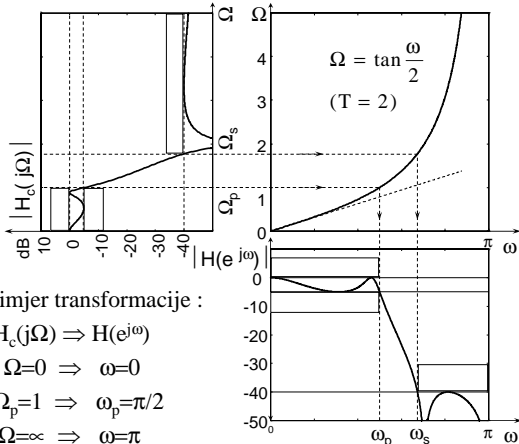
$$s = \frac{2}{T} \left(\frac{z-1}{z+1} \right) = \frac{2}{T} \frac{re^{j\omega}-1}{re^{j\omega}+1}$$

$$= \frac{2}{T} \left(\frac{r^2-1}{1+2r \cdot \cos \omega + r^2} + j \frac{2r \cdot \sin \omega}{1+2r \cdot \cos \omega + r^2} \right)$$

⇒ slijedi :

$$\sigma = \frac{2}{T} \left(\frac{r^2-1}{1+2r \cdot \cos \omega + r^2} \right), \quad \Omega = \frac{2}{T} \left(\frac{2r \cdot \sin \omega}{1+2r \cdot \cos \omega + r^2} \right)$$

46



49

Primjer projektiranja digitalnog IIR filtra

- Inverznom bilinearnom transformacijom specifikacije digitalnog filtra dobivaju se zahtjevi na pripadni analogni filter (engl. *frequency prewarping*)

$$\omega_p = 0.2\pi \Rightarrow \Omega_p = \frac{2}{T} \tan \frac{\omega_p}{2} = \frac{0.65}{T}$$

$$\omega_s = 0.3\pi \Rightarrow \Omega_s = \frac{2}{T} \tan \frac{\omega_s}{2} = \frac{1.02}{T}$$

- ... parametar T će se u postupku bilinearne transformacije funkcije $H_c(s)$ u $H(z)$ pokratiti, pa ga je moguće proizvoljno odabratи, npr T=1

$$\Omega_p = 0.65 \frac{\text{rad}}{\text{s}}, \quad \Omega_s = 1.02 \frac{\text{rad}}{\text{s}}$$

52

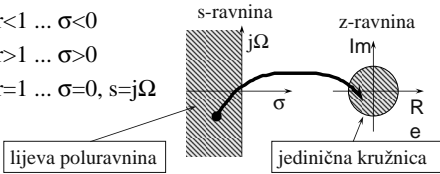
Svojstva bilinearne transformacije

- promotrimo realni dio varijable s:

$$\sigma = \frac{2}{T} \left(\frac{r^2-1}{1+2r \cdot \cos \omega + r^2} \right)$$

- ... pošto je nazivnik uvijek veći ili jednak od nule, predznak od σ ovisi isključivo o r i to :

- za $r < 1 \dots \sigma < 0$
- za $r > 1 \dots \sigma > 0$
- za $r = 1 \dots \sigma = 0, s = j\Omega$

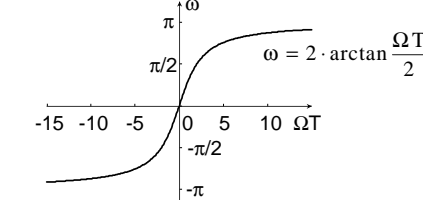


47

Svojstva bilinearne transformacije

- slučaj za r=1 (z na jediničnoj kružnici) :

$$\sigma = 0, \quad \Omega = \frac{2}{T} \left(\frac{\sin \omega}{1+\cos \omega} \right) = \frac{2}{T} \tan \frac{\omega}{2}$$



48

Projektiranje rekurzivnog digitalnog filtra bilinearnom transformacijom
Primjer projektiranja digitalnog IIR filtra

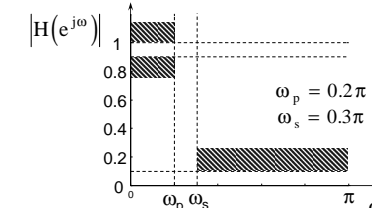
50

Primjer projektiranja digitalnog IIR filtra

- Specifikacija niskopropusnog digitalnog filtra

$$0.9 \leq |H(e^{j\omega})| \leq 1, \quad \text{za } 0 \leq \omega \leq 0.2\pi$$

$$|H(e^{j\omega})| \leq 0.1, \quad \text{za } 0.3\pi \leq \omega \leq \pi$$



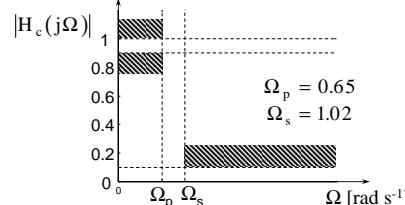
51

Primjer projektiranja digitalnog IIR filtra

- Specifikacija pripadnog niskopropusnog analognog filtra :

$$0.9 \leq |H_c(j\Omega)| \leq 1, \quad \text{za } 0 \leq \Omega \leq 0.65$$

$$|H_c(j\Omega)| \leq 0.1, \quad \text{za } 1.02 \leq \Omega < \infty$$



53

Primjer projektiranja digitalnog IIR filtra

- Odaberemo npr. Butterworthovu aproksimaciju kod projektiranja analognog NP filtra

- Kvadrat amplitudno-frekvenske karakteristike takvog filtra dan je izrazom :

$$|H_c(j\Omega)|^2 = \frac{1}{1 + \left(\frac{\Omega}{\Omega_c} \right)^{2N}}$$

- $|H_c(j\Omega)|^2$ je monotono padajuća funkcija od Ω tako da se na osnovu specifikacije na $H_c(j\Omega)$ dobivaju dvije nejednadžbe :

$$|H_c(0.65j)|^2 \geq 0.81$$

$$|H_c(1.02j)|^2 \leq 0.01$$

54

Primjer projektiranja digitalnog IIR filtra

- ... nađimo Ω_c i N za slučaj jednakosti :

$$1 + \left(\frac{0.65}{\Omega_0} \right)^{2N} = \frac{1}{0.81}, \quad 1 + \left(\frac{1.02}{\Omega_c} \right)^{2N} = \frac{1}{0.01}$$

- Eliminacijom Ω_c dobivamo izraz za N :

$$N = \frac{\log\left(\frac{1}{0.81} - 1\right) - \log\left(\frac{1}{0.01} - 1\right)}{2(\log 0.65 - \log 1.02)} = 6.07138$$

- N je red filtra i mora biti cijeli broj pa odabiremo prvi veći cijeli broj ... $N=7$

$$\Omega_c = 0.65 \left(\frac{1}{0.81} - 1 \right)^{-\frac{1}{2N}} = 0.721$$

55

Primjer projektiranja digitalnog IIR filtra

- Uparivanjem konjugirano-kompleksnih parova dobiva se $H_c(s)$ oblika:

$$H_c(s) = (0.721)^7 \frac{1}{s + 0.721} \cdot \frac{1}{s^2 + 0.3209s + 0.5198} \cdot \frac{1}{s^2 + 0.8991s + 0.5198} \cdot \frac{1}{s^2 + 1.2992s + 0.5198}$$

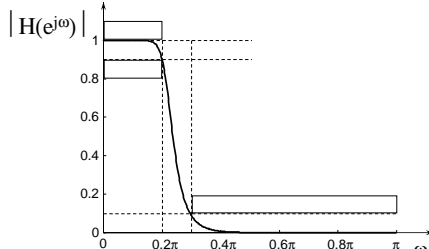
- Provjera za rubove prijelaznog područja $s=j\Omega_p$ i $s=j\Omega_s$

$$|H_c(0.65j)| = 0.9 \\ |H_c(1.02j)| = 0.0878 \leq 0.1$$

58

Primjer projektiranja digitalnog IIR filtra

- Ampl.-frekv. karakteristika vremenski diskretnog Butterworthovog filtra $H(z)$



61

Primjer projektiranja digitalnog IIR filtra

- Na osnovu kvadrata amplitudno-frekvencijske karakteristike sada treba odrediti $H(s)$ filtra

$$|H_c(j\Omega)|^2 = \frac{1}{1 + \left(\frac{\Omega}{\Omega_c} \right)^{2N}} = H_c(j\Omega) \cdot H_c(-j\Omega)$$

- Supstitucijom $\Omega=s/j$ slijedi:

$$H_c(s) \cdot H_c(-s) = \frac{1}{1 + \left(-\frac{s^2}{\Omega_c^2} \right)^N} = \frac{1}{\prod_{k=1}^{2N} (s - s_k)}$$

- Korijeni nazivnika dobivaju se rješavanjem:

$$(-1)^N s^{2N} = -\Omega_c^{2N}$$

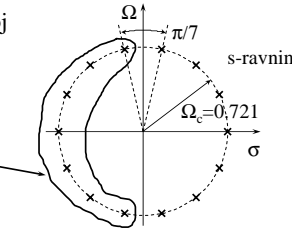
56

Primjer projektiranja digitalnog IIR filtra

- Polovi funkcije $H_c(s) \cdot H_c(-s)$ u s ravnini ... jednoliko raspoređeni po kružnici polujmjera Ω_c

- Polovi u lijevoj poluravnini pripadaju prijenosnoj funkciji filtra

$H_c(s)$.



57

Primjer projektiranja digitalnog IIR filtra

- Bilinearna transformacija funkcije $H_c(s)$ u $H(z)$ zamjenom s sa $2(1-z^{-1})/(1+z^{-1})$

$$H(z) = (0.721)^7 \frac{0.3675(1+z^{-1})}{1-0.47z^{-1}} \cdot \frac{0.1937(1+z^{-1})^2}{1-1.3485z^{-1}+0.7513z^{-2}} \cdot \frac{0.1583(1+z^{-1})^2}{1-1.1017z^{-1}+0.4308z^{-2}} \cdot \frac{0.1405(1+z^{-1})^2}{1-0.9778z^{-1}+0.2699z^{-2}}$$

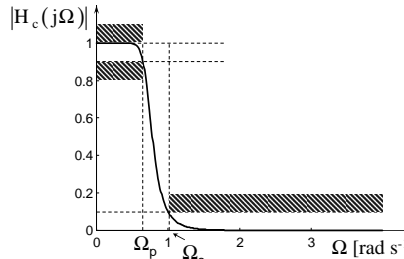
- Provjera za rubove prijelaz. područja $z=e^{j\omega_p}$ i $z=e^{j\omega_s}$

$$|H(e^{j0.2\pi})| = 0.9 \\ |H(e^{j0.3\pi})| = 0.0884 \leq 0.1$$

60

Primjer projektiranja digitalnog IIR filtra

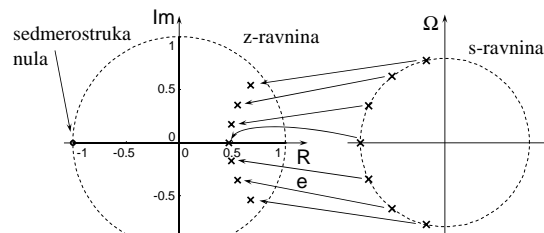
- Ampl.-frekv. karakteristika projektiranog vremenski kontinuiranog Butterworthovog filtra $H_c(s)$



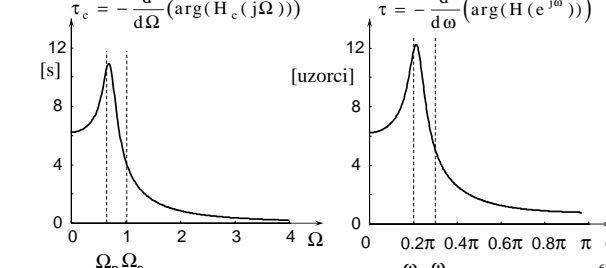
59

Primjer projektiranja digitalnog IIR filtra

- Grupno vrijeme kašnjenja filtra $H_c(s)$ i $H(z)$



62



63